

歪速度 0.6%/min の制御下で実施した。問題となっているのは、風化残積土の浸水による強度特性の変化であるので、水の影響をみるため、それぞれの試料において間ガキ比をほぼ一定とし、含水比の異なる状態（絶乾状態・気乾状態・飽和状態の3通り）で前述の排水三軸圧縮試験を行なった。

3. 風化残積土の強度

特性と水との関連性

三軸圧縮試験の結果より、代表的な応力～歪曲線を図-1に示す。それぞれ、前述の強熱減量より、新鮮(24)、やや風化(26-5)、風化(27-1')の各風化段階の試料の実験結果である。

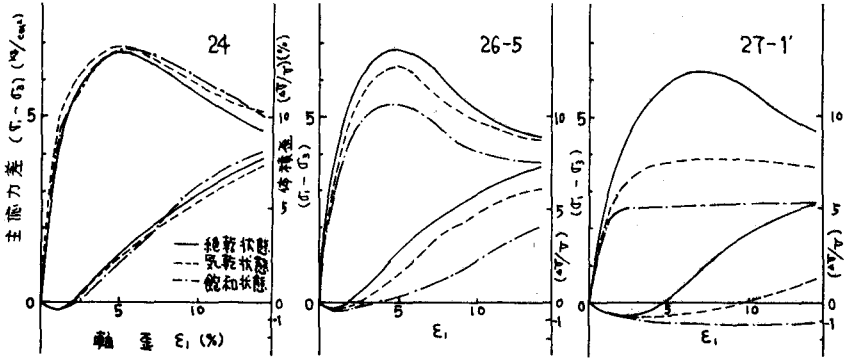


図-1 応力～歪曲線

これらと比較すると、絶乾状態の最大主応力差 $(\sigma_1 - \sigma_3)_{max}$ にはあまり風化の影響はみられないうが、飽和状態の $(\sigma_1 - \sigma_3)_{max}$ は、風化が進んでいるマサ土ほど小さくなっていく。つまり、密に締め固められたマサ土において、絶乾状態では風化度に関係なくほぼ同じ強度を示すのに対し、いったん吸水すると風化度の影響が大きく表われ強度の低下がみられるということである。さらに、同一試料について、絶乾状態の破壊時の主応力比 $(\sigma_3/\sigma_1)_{dry}$ と飽和状態の破壊時の主応力比 $(\sigma_3/\sigma_1)_{sat}$ の比 $(\sigma_3/\sigma_1)_{sat}/(\sigma_3/\sigma_1)_{dry}$ を考える。この応力の比は、強度低下の程度を示し、値が小さい程強度低下が大きいということである。そして、図-1からも明らかのように、風化が進む程小さくなる。そこで、風化度の判定に用いた強熱減量との関係をもてみると、図-2に示すとおり強い相関がみられる。図-3は粒度試験結果の粘土との関係を示したものであるが、強い相関はみられないう。すなわち、強度低下はマサ土の粘土含有量に関係するのではなく、むしろその粘土鉱物の性質

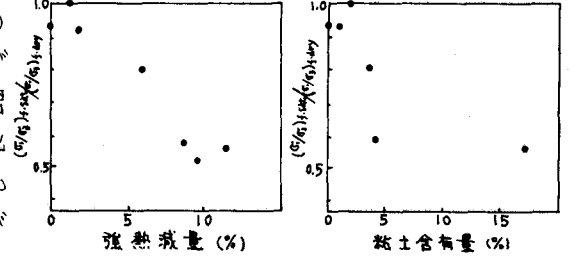


図-2 強熱減量と応力比の関係 図-3 粘土含有量と応力比の関係

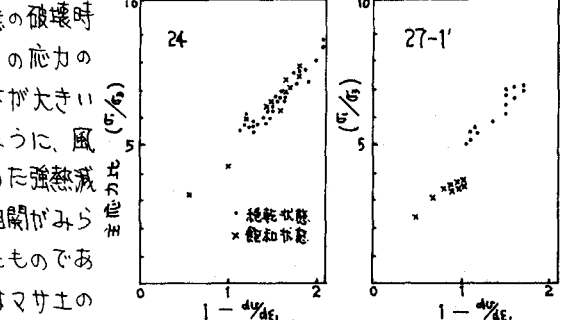


図-4 応力～ダイレイタンスの関係

によるものであるといえる。図-4は図-1より計算した応力～ダイレイタンスの関係をプロットしたものである。Rowe (1962)³⁾を参考にすれば、粒子間マサツ角 α は風化の影響も水の影響もあまり受けていない。マサ土のような粗粒物質の強度特性は、粒子間マサツによるところの抵抗成分と、ダイレイタンスによる抵抗成分からなるものとするれば、吸水によるマサ土の強度低下は、風化により増加した粘土分の脆弱化により、ダイレイタンスがおさえられる傾向にあるためと思われる。

4. まとめ

- (1) 強熱減量は試料の二次鉱物(カオリナイト, ハロサイト, ...)の増加と関係し、マサ土の風化度判定に有効である。
- (2) 強度の低下は、試料の強熱減量と強い相関がある。
- (3) 強度低下は、粘土分の吸水による脆弱化、あるいは流動化によるものと思われる。

参考文献

1) 大八木 規夫, 他, (1969): "加茂・大東地方花崗閃緑岩地帯における風化帯の粘土鉱物", 国土防衛科学技術センター研究報告, 甲 21-43. 2) Lumb, P.: "The properties of Decomposed Granite," Geotechnique. 3) Rowe, P.W. (1962): "The stress-dilatancy relation," Proc. Roy. Soc. A 262